



Fenótipo de DLD em paciente com MSUD: desafio diagnóstico e hipótese de interação funcional com proteína E3.

Amaro Freire de Queiroz Júnior^{1, 2} (afqjunior@hcpa.edu.br); Fabiano de Oliveira Poswar^{1,3}; Lília Farret³; Martha Braun da Rosa⁴; Fernanda Sperb-Ludwig^{3,4}; Ida Vanessa Doederlein Schwartz¹⁻⁴ (ischwartz@hcpa.edu.br)

- 1 Serviço de Genética Médica Hospital de Clínicas de Porto Alegre (HCPA), Porto Alegre RS
- 2 Instituto Nacional de Doenças Raras InRaras, Porto Alegre RS 3 Programa de Pós Graduação em Genética e Biologia Molecular UFRGS, Porto Alegre RS
- 4 Laboratório BRAIN Hospital de Clínicas de Porto Alegre (HCPA), Porto Alegre RS

INTRODUCÃO

Erros inatos do metabolismo são causas raras, porém tratáveis, de encefalopatias epilépticas de início precoce. A Doença da Urina do Xarope de Bordo (MSUD) e a deficiência de diidrolipoamida desidrogenase (DLD) compartilham vias metabólicas e achados laboratoriais sobrepostos (Figura 1), dificultando o diagnóstico diferencial, especialmente em apresentações atípicas.

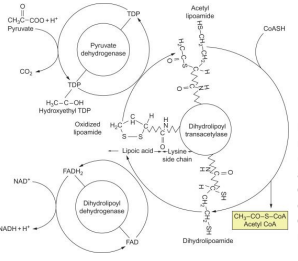


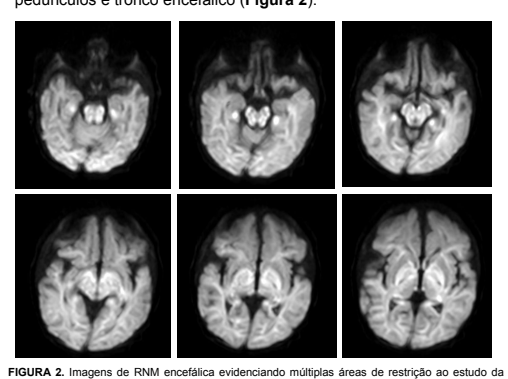
FIGURA Rota metabólica subunidade (dihidrolipoil desidrogenase), comum complexos DH. É BCKDH, PDH α-KGDH. considerada oxidação de aminoácidos de cadeia ramificada, piruvato e α-cetoglutarato.

OBJETIVO

Relatar um caso com quadro clínico e bioquímico inicialmente sugestivo de DLD, mas com diagnóstico molecular confirmatório de MSUD, destacando os desafios diagnósticos e a importância da integração clínico-metabólica e molecular.

RELATO DE CASO

Lactente do sexo feminino, filha de pais não consanguíneos, prematura tardia (IG 34s, Apgar 9/10), com hipoglicemia neonatal e mãe com DM1, evoluiu aos 3 meses com crises epilépticas recorrentes (movimentos oculares, hipertonia e clônus), regressão motora e hipotonia global. EEG e TC iniciais normais. Aos 6 meses, com piora clínica, novo EEG mostrou paroxismos multifocais, e RNM revelou restrição à difusão em núcleos da base, tálamos, pedúnculos e tronco encefálico (Figura 2).



difusão distribuídas nos globos pálidos, cápsulas externas, porções anteriores das cápsulas internas, porções ântero-laterais dos tálamos, pedúnculos cerebrais, pedúnculo cerebelar médio, núcleos denteado e tratos longos do tronco cerebral. Além disso, notam-se áreas de restrição à difusão, distribuídas especialmente na substância branca subcortical dos hemisférios cerebrais.

Amostra	Idade	AST (U.L.) VR: 16-52	ALT (U/L) VR: 16-61	CPK (U/L.) VR: 26-155	Amônia (µg\dL) VR: 16-62	Lactato (mmol/L) VR: 1.0-3.3	Leu (µmol/L) VR: 47-155	lle (µmoVL) VR: 31-86	Val (µmol/L) VR: 64-294
1	6 m	131	205	570	118	4,44	574,5	356,2	581,5
	6m + 7d	-		-	-		323,7	191,4	230,8
3	6m + 13d	-		-	-		467,0	308,4	202,8
4	6m + 20d	29	22	171	51	2,51	332,7	271,3	60,3

TABELA 1. Sumário dos níveis séricos de AST. ALT. lactato, amônia e aminoácidos de ca ramificada (Leu = leucina, lle = isoleucina, Val = valina), em diferentes momentos da evolução clínica. A **cor laranja**, correspondentes às Amostras 2 e 4, destaca os momentos em que a coleta ocorreu quatro dias após a introdução (Amostra 2) e ajuste (Amostra 4) da dieta metabólica



FIGURA 4. Levando em consideração a hipótese clínica e bioquímica de deficiência de DLD, fo instituído manejo com dieta com oferta proteica total de 2,0 g/kg/dia, inicialmente dividida em proteína natural (PN) 1,5 g/kg/dia e fórmula metabólica (FM) para MSUD - 0,5 g/kg/dia, com posterior proporção PN:FM de 1:1. A **cor laranja** assinala os **Momentos 2** e **4**, que correspondem, na **Figura 3**, às **Amostras 2** e **4** – coletadas quatro dias após a introdução (Momento 2) e o ajuste (Momento 4) do esquema dietético apresentado.

O perfil metabólico pré-tratamento revelou elevações nos aminoácidos de cadeia ramificada (Tabela 1), além de aumento, em urina, de ácido 2-cetoglutárico (Figura 5), ácido pirúvico e ácidos orgânicos de cadeia ramificada. Exames complementares demonstraram elevação de AST, ALT, lactato e amônia. Diante da suspeita de DLD - enzima E3 comum aos complexos BCKDH, PDH e α-KGDH — foi iniciado manejo dietético específico (Figura 4). Após a intervenção, houve melhora clínica e normalização parcial dos parâmetros laboratoriais. Aos 9 meses, exoma revelou variantes em heterozigose composta no gene BCKDHA: c.964C>T (patogênica) e c.317A>G (VUS), esta última reclassificada como provavelmente patogênica após segregação familiar (Figura 6).

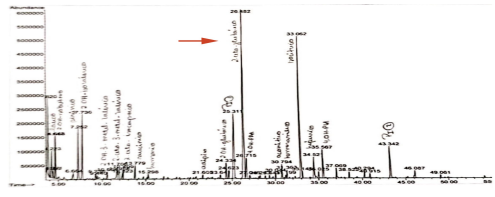
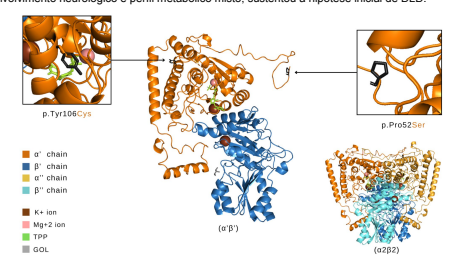


FIGURA 5. Perfil de ácidos orgânicos na urina evidenciando aumento de ácidos láctico, pirúvico 2-cetoglutárico (seta vermelha), 2-hidroxi- e 2-cetoácidos de cadeia ramificada. A preser marcante do ácido 2-cetoglutárico -- típico de DLD, mas incomum em MSUD aliada ao envolvimento neurológico e perfil metabólico misto, sustentou a hipótese inicial de DLD.



significativa do complexo BCKDH, com ΔΔG de 17.29 kcal/mol (VR >1.6), reforcando o impacto

DISCUSSÃO / CONCLUSÃO

A subunidade E3 (dihidrolipoil desidrogenase), comum aos complexos BCKDH, PDH e α-KGDH, é essencial para o aminoácidos ramificados, metabolismo de piruvato α-cetoglutarato. Sua deficiência leva ao acúmulo de aminoácidos ramificados, cetoácidos, lactato, piruvato, alanina e 2-cetoglutárico achados que podem simular MSUD, embora o aumento de 2-cetoglutárico não seja típico. No caso descrito, esses sinais inicialmente sugeriram DLD, mas a análise molecular confirmou MSUD atípica, sem descartar possível efeito cruzado entre E1 e E3. Estudos estruturais in silico foram iniciados para avaliar o impacto das variantes na interação entre E1 e E3. A resposta clínica ao tratamento especializado reforça a importância da suspeita ampliada e do diagnóstico precoce, destacando a complexidade diagnóstica e a necessidade de revisão dos modelos fenotípicos clássicos das acidemias orgânicas.

AGRADECIMENTOS

Agradecimento especial às equipes do LAM/HCPA e LEIM/HCPA pelo valioso apoio na interpretação e análise deste caso.